

ВЛИЯНИЕ ТВЕРДЫХ ЧАСТИЦ НА ПРОЦЕСС КАВИТАЦИИ В ШАХТНЫХ НАСОСАХ

Малеев В.Б., докт. техн. наук, профессор,
Донецкий национальный технический университет

Показано влияние твердых частиц в шахтной воде на развитие кавитации в насосах водоотлива.

The influence of firm particles in mine water on development cavitations in pumps is shown.

Проблема и ее связь с научными или практическими задачами. Присутствие твердых частиц в шахтной воде, поступающей в центробежные насосы, способствуют развитию в ней кавитации. Объясняется это тем фактом, что вместе с твердыми включениями поступает значительный объем газа, содержащийся в порах, что приводит к газовой кавитации [1, 2], и уменьшением объема воды за счет присутствия твердого компонента и дополнительного выделения тепла от него при перегреве жидкости. Развитию кавитации способствует также увеличение потерь напора в подводе и при входе в межлопаточный канал первого рабочего колеса. Поэтому задача исследования процесса кавитации в насосах водоотлива при откачке ими неосветленной воды и установления максимально допустимой вакуумметрической высоты всасывания при этом является актуальной.

Анализ исследований и публикаций. Как известно, интенсивность кавитации в однородной жидкости в литературе [1, 3, 4] принято оценивать отношением

$$B = \frac{V_p}{V} = \frac{m_p \cdot \rho}{m \cdot \rho_p}, \quad (1)$$

где B – термодинамический критерий кавитации; V_p , V – соответственно объем пара и жидкости; m_p , m – соответственно масса пара и жидкости; ρ_p – плотность пара.

Решение уравнения (1) с учетом теплового баланса при кавитации дает зависимость [5]:

$$B = \frac{\rho \cdot c \cdot \Delta p \cdot dt}{\rho_p \cdot g \cdot dp_p}, \quad (2)$$

где c , g – соответственно удельная теплоемкость и теплота парообразования жидкости; Δp – падение давления в жидкости ниже дав-

ления насыщенного пара при кавитации.

Постановка задачи. Для повышения антикавитационных качеств насосов следует исследовать процесс парообразования в гидросмеси и подтвердить теоретические выводы экспериментально.

Изложение материала и результаты. Парообразование в гидросмеси при кавитации происходит за счет подведения тепла как от жидкой фазы $q_{ж}$, так и от твердой q_t , т.е.

$$q_{ж} + q_t = c_m \cdot \Delta t + c_t m_t \cdot \Delta t, \quad (3)$$

где $m_{ж}$, m_t – масса жидкости и твердого компонента в гидросмеси; c_t – удельная теплоемкость твердой фазы.

Для образования массы пара m_p необходимо количество тепла:

$$q_p = q_{ж} + q_t = r m_p, \quad (4)$$

Твердая фаза гидросмеси при кавитации не преобразуется в пар. Поэтому термодинамический критерий кавитации для гидросмеси:

$$B_{cm} = \frac{V_p}{V_{ж}} = \frac{m_p \rho}{\rho_p m_{ж}}, \quad (5)$$

где $V_{ж}$ – объем жидкой фазы в гидросмеси.

Подставляя в уравнение (5) значение m_p и q_p из (4) и учитывая (3), получим:

$$B_{cm} = \frac{\rho \cdot c \cdot \Delta t}{\rho_p \cdot r} + \frac{\rho_t c_t V_t \Delta t}{\rho_p r V_{ж}},$$

Заменяя в уравнении $\frac{V_t}{V_{ж}} = \frac{S}{1-S}$ и $\Delta t = \frac{dt}{dp} \Delta p$ получим окончательно:

$$B_{cm} = \frac{\rho_c \cdot \Delta p \cdot dt}{\rho_p \cdot r \cdot dp_p} + \frac{\rho_t \cdot c_t \cdot S \cdot \Delta p \cdot dt}{\rho_p \cdot r \cdot (1-S) \cdot dp_p}, \quad (6)$$

Сопоставляя уравнения (3) и (6), видим, что интенсивность кавитации в гидросмеси больше на величину второго слагаемого уравнения (6). При концентрации твердых частиц в шахтной воде $S=0$ термодинамический критерий обратится в соответствующую величину для однородной жидкости. Подсчеты показывают, что при транспортировании обычных твердых материалов (песок, уголь, гравий) с концентрацией $S=0,2 \dots 0,3$ интенсивность кавитации возрастает на 12 ... 18%. Она по существу и определяет более вероятный срыв подачи при кавитации на гидросмеси. Экспериментально показано, что давление насыщенного пара в гидросмеси из-за значительного газосодержания для обычного транспортируемых материалов больше,

чем у деаэрированной шахтной воды, в среднем на 10% [5]. Теоретический анализ по определению увеличения диссипации энергии в подводе и при входе в колесо от присутствия твердых частиц в жидкости не дал инженерного метода расчета. Поэтому величина критического кавитационного запаса определялась экспериментально. На рис. 1 приведена частная кавитационная характеристика насоса 4НФ на гидросмеси. Как и следовало ожидать, вследствие наличия газов в твердых частицах, характеристики не имеют четких границ начала кавитации. Объясняется это интенсивным газовыделением при увеличении вакуума в системе. По существу в это время насос работает на трехфазной смеси: вода – твердое – газ. Как видно из рисунка, с увеличением вакуума, а следовательно и уменьшением количества газа в гидросмеси, давление насоса p_{cm} и мощность N_{cm} плавно возрастают с уменьшением кавитационного запаса. Так как газовыделение происходит и в момент наступления кавитации, то на этих характеристиках трудно зарегистрировать начало уменьшения соответствующей величины. Все сказанное справедливо также и при получении частных кавитационных характеристик на воде, содержащей нерастворенный воздух. Поэтому во всех случаях наиболее достоверно наступление кавитации регистрировать по уменьшению КПД. При этом за начало кавитации на характеристике $\eta = f(\Delta p_k)$ принималось уменьшение КПД не менее, чем на 1% [2, 6]. Следует отметить, что некоторое увеличение мощности насоса в момент появления кавитации является характерным для всех частных кавитационных характеристик (см. рис. 1). Так как полезная мощность $P_{cm} Q_{cm}$ в этот момент уже несколько уменьшается, то единственной причиной увеличения мощности N_{cm} может быть уменьшение КПД насоса, в частности гидравлического КПД за счет резкого увеличения диссипации энергии при образовании и захлопывании кавитационных пузырьков. В результате математической обработки частных кавитационных характеристик получено уравнение критического кавитационного запаса на гидросмеси:

$$\Delta p_{kp,cm} = 10 \rho_{cm} g \left(\frac{n \sqrt{Q_{cm}}}{c} \right)^{\frac{4}{3}} + 0,072 \rho_T d_{cp}^3 S^{1.73} \left(\frac{Q_{cm}}{D_o^2} \right)^2, \quad (6)$$

где c – критический кавитационный коэффициент быстроходности; D_o – диаметр входа в рабочее колесо.

Это уравнение применимо для насосов в диапазоне относитель-

ной плотности неосветленной шахтной воды $\bar{\rho}_{CM} = 1,1 \dots 1,2$ и относительной плотности твердых частиц в ней $\bar{\rho}_T = 1,6 \dots 2,6$ при размере последних $d_{cp} = 2 \dots 7$ мм. Отклонения опытных точек от расчетных не превышают 4%. Как и предыдущие, это уравнение при $S=0$ обращается в обычное уравнение для однородной жидкости. Допустимое вакуумметрическое давление при работе насоса на гидросмеси:

$$p_{\text{вак.доп}} = p_a + \frac{\rho_{CM} V_{CM}^2}{2} - \Delta p_{\text{доп.СМ}} - p_{\text{п.СМ}}, \quad (7)$$

где p_a – атмосферное давление; V_{CM} – скорость во всасывающем патрубке; $p_{\text{п.СМ}}$ – давление насыщенного пара жидкости в гидросмеси; $\Delta p_{\text{доп.СМ}}$ – допустимый кавитационный запас на гидросмеси, $\Delta p_{\text{доп.СМ}} = A \cdot \Delta p_{\text{кр.СМ}}$, где A – коэффициент кавитационного запаса.

Из уравнения видно, что максимально допустимое значение ва-

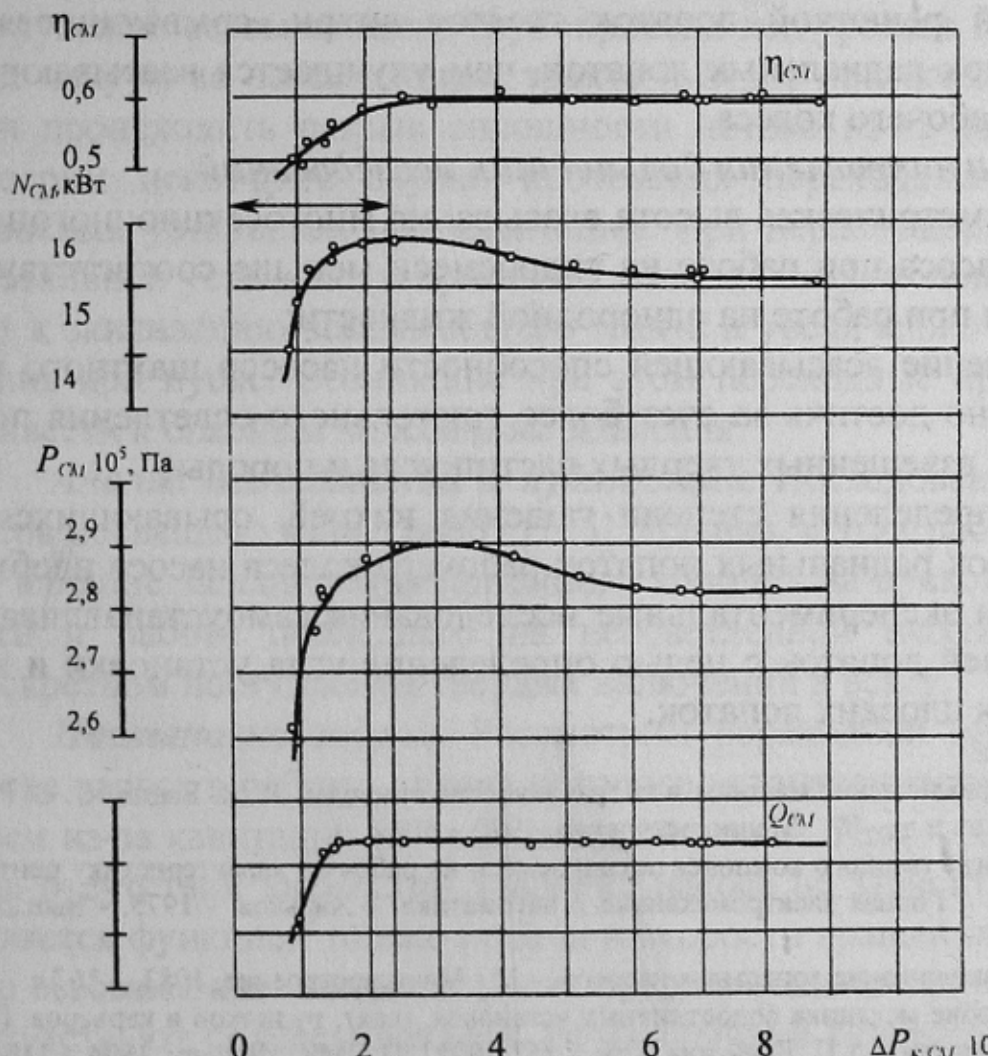


Рисунок 1 - Частная кавитационная характеристика насоса 4НФ на гидросмеси с $\bar{\rho}_{CM} = 1,1$, $\bar{\rho}_T = 1,66$, $d_{cp} = 2,0$ мм.

куума во всасывающем патрубке насоса при работе на гидросмеси меньше соответствующего давления при работе на однородной жид-

кости как за счет увеличения критического кавитационного запаса, так и давления насыщенного пара. Уменьшение величины вакуума при переходе рабочего режима насоса с воды на гидросмесь зафиксировано экспериментально как при статических, так и динамических испытаниях.

Для повышения всасывающей способности и КПД насосов, работающих в системе шахтного водоотлива, разработаны специальные рабочие колеса [7]. Рабочее колесо гидромашины содержит радиальные и установленные перед ними осевые лопатки. Благодаря свободно сидящей ступице прямая решетка профилей лопаток самоустанавливается в направлении наименьшего сопротивления и соответствующим образом делит поток между радиальными лопатками, выравнивая тем самым нагрузку между ними и уменьшая потери напора на удар, за счет чего повышается КПД насоса. Одновременно прямой решеткой лопаток гасятся вихри, срывающиеся с входных кромок радиальных лопаток, чем улучшается всасывающая способность рабочего колеса.

Выводы и направления дальнейших исследований.

- вакуумметрическая высота всасывания многосекционного центробежного насоса при работе на гидросмеси меньше соответствующего значения при работе на однородной жидкости;
- повышение всасывающей способности насосов шахтного водоотлива можно достичь за счет более тщательного осветления подземных вод от взвешенных твердых частиц угля и породы;
- для определения степени гашения вихрей, срывающихся с входных кромок радиальных лопаток рабочего колеса насоса необходимо провести экспериментальные исследования самоустанавливающихся профилей лопаток с целью определения угла установки и количества таких плоских лопаток.

Список источников.

1. Гидравлика, гидравлические машины и гидравлические приводы. Т. М. Башта, С. С. Рубнев, Б. Б. Некрасов и др. - М.: Машиностроение, 1970. - 504 с.
2. Заря А. Н. Влияние твердого компонента гидросмеси на рабочую характеристику центробежного насоса. // Горная электромеханика и автоматика. – Харьков. - 1975. - Вып.26. - С 32 – 38.
3. Карелин В. Я. Изнашивание лопастных насосов. – М.: Машиностроение, 1983. – 167 с.
4. Справочное пособие механика водоотливных установок, шахт, рудников и карьеров. Под ред. Н.В. Паламарчука и А.П. Деньгина. Том.5. (5ТД0023.93 ПМК). Донецк, 1994. - 110 с.
5. Заря А. Н. Всасывающая способность центробежного насоса при работе на гидросмеси. // Разработка месторождений полезных ископаемых. –К.: Техника. - 1974.-Вып.37. -С.35 – 41.
6. Малеев В.Б., Боруменский А.Г. Петелин Э.А. Аккумулирующая емкость подводящего трубопровода водоотливной установки. Депонирована в ЦНИЭИ уголь, № 4247, 1987.
7. Гейер В.Г., Малеев В.Б., Боруменский А.Г. и др. Рабочее колесо центробежного насоса. Авт. свидетельство № 1634836. Бюллетень изобретений №10, 1991.